Косарев И.Б. Радиационные свойства алюминиевой плазмы // Динамические процессы в геосферах. Выпуск 9: Сборник научных трудов ИДГ РАН. М.: ГЕОС, 2017. С. 110–116.

Лосева Т.В., Голубь А.П., Косарев И.Б., Ляхов А.Н., Поклад Ю.В., Гаврилов Б.Г., Зецер Ю.И., Черменин А.В. Начальная стадия развития плазменной струи в активных геофизических ракетных экспериментах // Динамические процессы в геосферах. Выпуск 9: Сборник научных трудов ИДГ РАН. М.: ГЕОС, 2017. С. 102–110.

Лосева, Т.В., А П. Голубь, А.Н. Ляхов, и И.Б. Косарев. Радиационный эффект Челябинского болида // Письма в ЖЭТФ. 2016. Т. 103. Вып. 11–12. С. 773–779.

Операция «Аргус», Атомиздат, 1960. – 118 с.

Операция «Морская звезда», Атомиздат, 1964. – 288 с.

Рахманов А.В., Суржиков С.Т. Расширения плазменного облака сложной формы в разреженной плазме с магнитным полем // Математическое моделирование. 1992. Т. 4. № 7. С. 67–78.

Самарский, A.A., и $W.\Pi$. Попов. Разностные методы решения задач газовой динамики. М.: Наука. 1992.

Ступицкий Е.Л., Репин А.Ю., Холодов А.С., Холодов Я.А. Поведение высокоэнергетического плазменного сгустка в верхней ионосфере // Математическое моделирование. 2004. Т. 16. № 7. С. 43–58.

Четверушкин, Б. Н. Математическое моделирование задач динамики излучающего газа. М.: Наука. 1985.

Bauer E. IDA Document D-721. 1990. – 42p.

Delamere P.A, Stenbaek-Nielsen H.C., R.F. Pfaff R.F., Erlandson R.E., Meng C.I., J.I. Zetzer J.I., Kiselev Y.N, Gavrilov B.G. Dynamics of the Active Plasma Experiment North Star Artificial Plasma Jet // Journal of Spacecraft and Rockets. 2004. V. 41 No. 4. P. 503–508.

Gatsonis N.A., De Magistris M., Erlandson R.E. Three-Dimensional Magnetohydrodynamic Modeling of Plasma Jets in North Star Space Experiment // Journal of Spacecraft and Rockets. 2004. V. 41. No. 4. P. 509–520.

УДК 535.31.593

ИССЛЕДОВАНИЕ ЭФФЕКТИВНОСТИ ФОКУСИРОВКИ ЛАЗЕРНОГО ПУЧКА, РАССЕЯННОГО АЭРОЗОЛЕМ, С ПОМОЩЬЮ АДАПТИВНОЙ ОПТИЧЕСКОЙ СИСТЕМЫ

И.В. Галактионов, А.В. Кудряшов, А.Н. Никитин, А.Л. Рукосуев, Г.Н. Мар, Ю.В. Шелдакова

ИДГ РАН

Разработана экспериментальная установка для фокусировки лазерного пучка сквозь стеклянную кювету с рассеивающей суспензией полистироловых микросфер диаметром 1 мкм. В качестве адаптивного элемента применялось биморф-

ное зеркало, а в качестве устройств обратной связи — датчик Шака-Гартмана и ПЗС-камера для анализа фокального пятна в дальней зоне.

Введение

Рассеивающая среда отличается явно выраженной оптической неоднородностью из-за присутствия примесей частиц с отличающимся показателем преломления (атмосферный аэрозоль, дымка, туман). Часть энергии лазерного излучения поглощается, а часть перераспределяется в пространстве, что, с одной стороны, делает очертания объектов размытыми, а с другой — препятствует фокусировке излучения. Для задач увеличения дальности распространения излучения и передачи информации по оптическим каналам связи решение этой проблемы имеет большую важность [Mosk, 2012; Vellekoop, 2007].

В работе продемонстрирована возможность увеличения эффективности фокусировки лазерного пучка, распространяющегося сквозь рассеивающий аэрозоль, с использованием биморфного адаптивного зеркала с 48 управляющими электродами. На первых этапах работы была реализована модель транспортировки лазерного пучка сквозь рассеивающий слой, а также алгоритм регистрации распределения интенсивности прошедшего излучения на субапертурах датчика Шака-Гартмана [Sheldakova, 2016]. Были выполнены численные оценки по эффективности фокусировки лазерного пучка сквозь рассеивающий слой [Галактионов, 2016].

Экспериментальная адаптивная система состояла из биморфного зеркала, датчика Шака-Гартмана для анализа искажений лазерного пучка [Галактионов, 2015] и ПЗС-камеры для анализа распределения интенсивности и размера фокального пятна в дальней зоне. Управление адаптивным зеркалом осуществлялось при помощи двух методов: минимизации смещений фокальных пятен на датчике Шака-Гартмана [Галактионов, 2017] и оптимизации фокуса алгоритмом «восхождения на холм» по интенсивности фокального пятна в дальней зоне [Sheldakova, 2010].

Адаптивный корректор

В качестве адаптивного фокусирующего элемента в экспериментальной установке применялось биморфное адаптивное зеркало (рис. 1) [Samarkin, 2002; Kudryashov, 2001]. Световая апертура зеркала составляла 50 мм, амплитуда деформации поверхности \pm 20 микрон, зеркало имело 48 электродов, на которые подавались напряжения в диапазоне от $-300~{\rm B}$ до $+300~{\rm B}$.

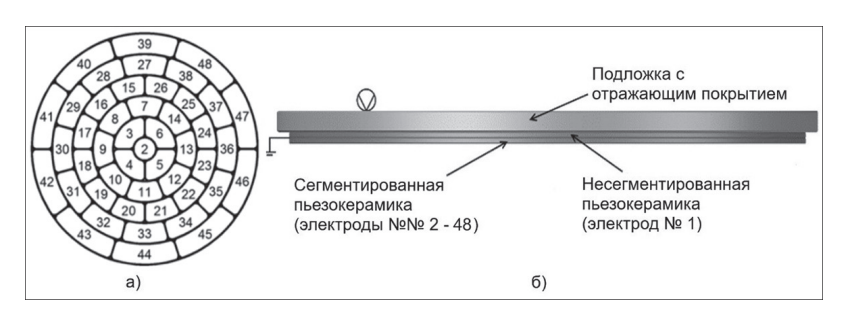


Рис. 1. Нумерация электродов (а) и схема биморфного зеркала (б)

Фокусировка лазерного пучка. Используемые методики

1. Минимизация смещений фокальных пятен на датчике Шака-Гартмана с использованием функций отклика биморфного зеркала — применялся алгоритм, описанный в [Kudryashov, 2012]. Формула (1) представляет функционал, который необходимо было минимизировать.

$$S_k = \begin{vmatrix} \Delta x_k \\ \Delta y_k \end{vmatrix} = \sum_{j=1}^N u_j \cdot b_j(x_k, y_k) \to MIN$$
 (1)

 Δx_k где — смещение k-го фокального пятна вдоль оси X, Δy_k — смещение k-го фокального пятна вдоль оси Y, N — количество электродов, u_j — напряжение на j-м электроде, $b_i(x_k,y_k)$ — функция отклика j-го электрода.

2. Оптимизация фокуса алгоритмом «восхождения на холм» по фокальному пятну в дальней зоне [Sheldakova, 2004]. Этот алгоритм максимизирует яркость фокального пятна (формула (2)) в дальней зоне, а также оптимизирует его диаметр.

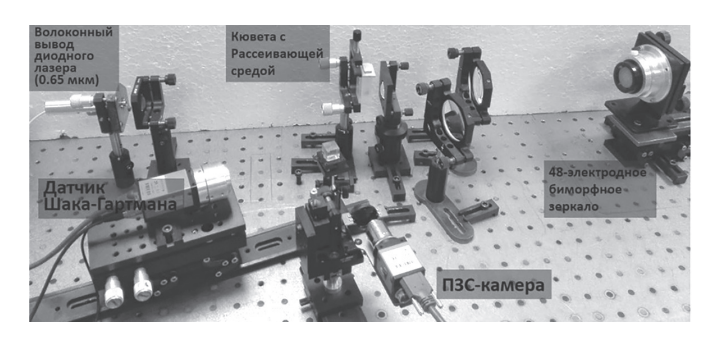
$$\frac{1}{MaxIntens} \cdot (D_x + D_y) \cdot \max(D_x, D_y) \to MIN \tag{2}$$

где $D_{\rm x}$ — диаметр фокального пятна на ПЗС-камере вдоль оси X, $D_{\rm y}$ — диаметр фокального пятна на ПЗС-камере вдоль оси Y, MaxIntens — максимальный уровень яркости в фокальном пятне.

Экспериментальная установка

После проведения теоретических расчётов и численных оценок по возможности фокусировки рассеянного лазерного пучка была разработана и собрана экспериментальная установка (рис. 2).

Рис. 2. Фотография экспериментальной установки для фокусировки рассеянного лучка



Коллимированный лазерный пучок с длиной волны 0.65 мкм падал на стеклянную кювету толщиной 5 мм, заполненную суспензией полистироловых микросфер в дистиллированной воде. Рассеянный пучок, прошедший сквозь кювету, попадал на 48-электродное биморфное зеркало, после отражения от которого падал на светоделительную пластину. 20% мощности пучка ответвлялось на датчик Шака-Гартмана, 80% — на ПЗС-камеру с микро-объективом с 20-кратным увеличением.

Результаты фокусировки рассеянного лазерного пучка

После начальной оптимизации системы, выполняемой с эталонным плоским зеркалом, найденный набор напряжений U, соответствующих лучшему фокальному пятну, сохранялся в качестве опорного для данной установки в отсутствие рассеивающей среды. Также в качестве опорной использовалась полученная при этом гартманограмма на датчике Шака-Гартмана. Иными словами, если в оптический тракт установки вносились какие-либо искажения, то алгоритм оптимизации по датчику Шака-Гартмана подбирал напряжения на зеркале, при которых центры фокальных пятен стремились к центрам пятен на опорной гартманограммы.

Затем в кювету, изначально заполненную дистиллированной водой, постепенно добавлялись капли суспензии полистироловых микросфер диаметром $1\,$ мкм (известной концентрации). Это вызывало уменьшение интенсивности фокального пятна в дальне зоне. После включения одного из алгоритмов оптимизации и получения приемлемого фокального пятна в дальней зоне на зеркале вновь выставлялся набор оптимальных напряжений U. Затем выполнялась оптимизация следующим алгоритмом. На следующем этапе концентрация рассеивающей среды увеличивалась, и процедура оптимизации повторялась.

На рис. 3 представлены результаты увеличения пиковой интенсивности фокального пятна в результате адаптивной фокусировки рассеянного излучения с использованием двух методик для концентрации рассеивателей $6.2 \cdot 10^5$ мм $^{-3}$. Индикатриса рассеяния для такой концентрации рассеивающих частиц при толщине слоя 5 мм будет эквивалентна индикатрисе для слоя в несколько сотен метров в условиях тумана, если использовать принцип подобия [Зеге, 1985].

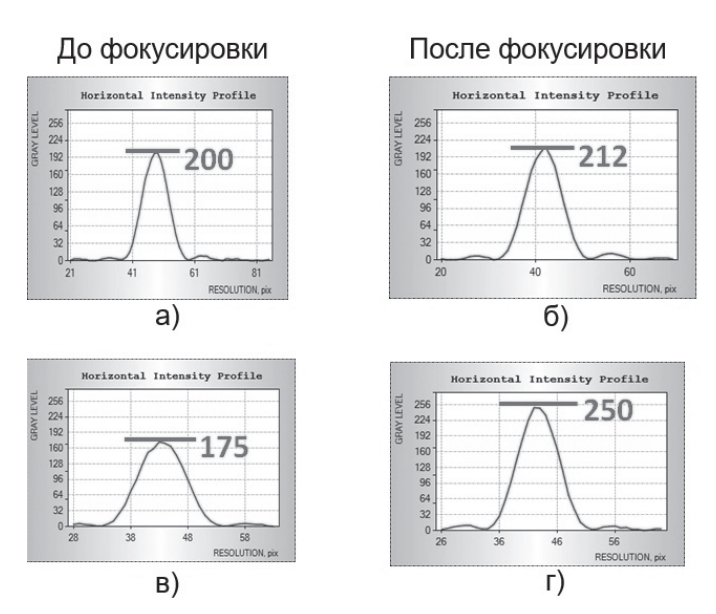


Рис. 3. Профили распределения интенсивности фокального пятна: a) — до коррекции методом минимизации смещений фокальных пятен на датчике Шака-Гартмана, б) — в результате коррекции с помощью минимизации смещений фокальных пятен на датчике Шака-Гартмана, в) — до оптимизации фокуса алгоритмом «восхождения на холм» по фокальному пятну в дальней зоне, г) — после оптимизации фокуса алгоритмом «восхождения на холм» по фокальному пятну в дальней зоне. Цифры на изображениях показывают максимальный уровень яркости в пятне.

Заключение

Была собрана экспериментальная установка для фокусировки рассеянного лазерного излучения. Ключевым элементом экспериментальной схемы было биморфное адаптивное зеркало с 48 электродами, которое позволило увеличить максимальную яркость фокального пятна в дальней зоне на 10–45%.

Работы проводились при финансовой поддержке РФФИ (проект № 16-07-01276-а) и в рамках государственного задания ИДГ РАН (проект № 0146-2016-0001).

Литература

Галактионов И.В., Шелдакова Ю.В., Кудряшов А.В. Анализ аберраций лазерного излучения, прошедшего сквозь мутную среду // Квантовая электроника. 2015. № 45(2). С. 143–144.

Галактионов И., Кудряшов А., Шелдакова Ю., Бялко А., Каленков Г. Измерение и коррекция волнового фронта лазерного излучения, распространяющегося сквозь рассеивающую среду // Тезисы докладов 17-й международной конференции «Оптика Лазеров 2016». 2016. С. R4–18.

Галактионов И., Кудряшов А., Ю. Шелдакова, А. Бялко, Ж. Борсони. Измерение и коррекция волнового фронта лазерного излучения в мутной среде // Квантовая Электроника. 2017. № 47(1). С. 32–37.

Зеге Э.П., Иванов А.П., Кацев И.Л. Перенос изображения в рассеивающей среде // Мн.: Наука и техника. 1985. — 327 с.

Kudryashov A., Samarkin V., Aleksandrov A. Adaptive Optical elements for laser beam control // Proc. SPIE 4457. 2001. PP. 170–178.

Kudryashov A.V., Samarkin V.V., Sheldakova Y.V., Aleksandrov A.G. Wavefront compensation method using a Shack-Hartmann sensor as an adaptive optical element system // Optoelectronics, Instrumentation and Data Processing, 2012, № 48 (2), PP. 153–158.

Mosk A.P., Lagendijk A., Lerosey G., Fink M. Controlling waves in space and time for imaging and focusing in complex media // Nature Photonics. 2012. № 6. p. 283.

Samarkin V., Aleksandrov A., Kudryashov A. Bimorph mirrors for powerful laser beam correction and formation // Proc. SPIE 4493. 2002. PP. 269–276.

Sheldakova J., Kudryashov A., Rukosuev A., Lylova A. Uniform focal spot formation in adaptive system with Shack-Hartmann sensor and M2 sensor // Proc. of 17-th International Conference «Laser Optics». 2016. 2016. P. R4–11.

Sheldakova J., Kudryashov A., Samarkin V., Rukosuev A., Alexandrov A., Romanov P. Multi-dither algorithm on Shack-Hartmann wavefront sensor for laser beam formation // Proc. SPIE 7789. 2010. 7789. P. 778912.

Sheldakova J., Rukosuev A., Kudryashov A. Genetic and hill-climbing algorithms for laser beam correction // Proc. SPIE: The International Society for Optical Engineering Laser Resonators and Beam Control VII. Cep. «Laser Resonators and Beam Control VII» sponsors: SPIE — The International Society for Optical Engineering. 2004. P. 106–111.

Vellekoop I.M., Mosk A.P. Focusing coherent light through opaque strongly scattering media // OPTICS LETTERS. 2007. № 32. P. 2309.